

— растительность на пойме реки оказывает существенное влияние на уровеньный режим половодий, например, полное ее удаление приводит к среднему снижению уровней половодья (при 1% обеспеченности) на 1,0–0,5 м по сравнению с уровнем в естественных условиях;

— уменьшение междамбового расстояния вызывает увеличение русловой части расхода по сравнению с пойменной, вследствие чего повышение средних скоростей в русле больше, чем на пойме;

— на участках поймы, покрытых растительностью, где отсутствуют сосредоточенные течения (влияние рельефа местности и растительности), опасность размывов отсутствует при всех рассмотренных вариантах расположения дамб;

— при устройстве дамб обвалования из местных песков следует учитывать минимально допустимое приближение их к руслу реки и наличие сосредоточенных течений, обусловленных рельефом местности, наличием кустарника, устройством вдоль дамб траншей.

Л и т е р а т у р а

1. Л е в и И.И. Моделирование гидравлических явлений. — М.—Л., 1960.
2. Г и л я р о в Н.П. Моделирование речных потоков. — Л., 1973.
3. Р о з о в с к и й И.Л., Е р е м е н к о Е.В., Б а з и л е в и ч В.А. Неустановившееся движение водного потока ниже гидроэлектростанций и его влияние на русло. — Киев, 1967.
4. Справочник по гидравлике. — Киев, 1977.

УДК 532.57

В.П. Р о г у н о в и ч, А.А. О с и п о в и ч, Г.С. Ц а ц у к

РАСПРЕДЕЛЕНИЕ ПРОДОЛЬНОГО КОМПОНЕНТА ОСРЕДНЕННОЙ СКОРОСТИ В ОДНОРОДНЫХ ПО ДЛИНЕ ПОТОКАХ ТРАПЕЦЕИДАЛЬНОГО СЕЧЕНИЯ

Использование гипотезы о представлении поля продольных скоростей некоторой комбинацией полей скоростей двух плоских потоков [1,2,3] привело к удовлетворительному согласованию расчетных и экспериментальных данных [4]. Впервые аналогичное представление применительно к потокам прямоугольного поперечного сечения использовал В.Н. Гончаров [1]. Э.П. Коваленко, предложив [2,3] новую трактовку известного [1] гидравлического постулата о представлении потоков других форм сечений плоскими с глубиной, равной гидравлическому радиусу R , и шириной, равной смоченному периметру χ , установил взаимосвязь между полем продольных скоростей в потоке ограниченного сечения и полями скоростей в двух плоских потоках — плоском по вертикали и по горизонтали.

В статье предпринята попытка вывести формулу для расчета распределения продольного компонента осредненной скорости в однородных по

длине потоках трапецеидального сечения. Для этого использована новая трактовка [2,3,4] гидравлического постулата и полуэмпирическая зависимость для профиля скоростей в плоском потоке [5,6].

В случае прямоугольного сечения, основываясь только на гидравлическом постулате, можно записать соотношение [2,3,4]:

$$\frac{1}{R} = \frac{1}{H} + \frac{1}{B}. \quad (1)$$

Из него наиболее наглядно следует идея новой трактовки известного гидравлического постулата: по аналогии с R считать H и B глубинами плоских потоков по вертикали и горизонтали соответственно.

Для потоков трапецеидального сечения новое толкование постулата не столь очевидно, так как глубина и ширина переменны по сечению. В этом случае применяются некоторые средние значения H и B , которые в дальнейшем обозначаются H_1 и B_1 . Возможность использования H_1 и B_1 применительно к потокам трапецеидального сечения вытекает из полученной ранее [4] формулы для потоков прямоугольного сечения, в которую H и B входят как параметры, определяющие средние характеристики движения.

На основании изложенных предпосылок и известных зависимостей можно для вычисления H_1 и B_1 получить следующие соотношения.

Средняя по сечению скорость плоского по вертикали потока в трапецеидальном сечении

$$\bar{v}_2 = \frac{\int_0^A v_2 dA}{A},$$

где A — площадь половины поперечного сечения.

С другой стороны, средняя скорость плоского по вертикали потока с постоянной глубиной H_1 может быть определена по формуле Шези. Для скоростного коэффициента Шези C используем формулу логарифмического типа [7]:

$$C = E + N \ln H_1 = \ln H_1^{\frac{N}{E}} e^E,$$

где $E = \frac{1}{n}$; $N = (11,94 - 130,2n)$; n — коэффициент шероховатости.

Тогда средняя скорость плоского по вертикали потока с постоянной глубиной H_1

$$\bar{v}_2 = \sqrt{H_1} \ln H_1^{\frac{N}{E}} e^E.$$

На основании принятого равенства средних скоростей плоских по вертикали потоков в трапецеидальном сечении и в плоском потоке с постоянной глубиной H_1 можно записать

$$\sqrt{H_1 i} \ln H_1^N e = \frac{0 \int^A v_2 dA}{A} E$$

и, следовательно, определить

$$H_1 = e \frac{\frac{0 \int^A v_2 dA}{AN \sqrt{H_1 i}}}{N} E$$

Для плоских потоков по горизонтали, используя аналогичные соотношения, получим

$$B_1 = e \frac{\frac{0 \int^A v_3 dA}{AN \sqrt{B_1 i}}}{N} E,$$

где v_3 – местная осредненная скорость плоского по горизонтали потока в трапециевидальном сечении.

Используя известный гидравлический постулат, можно записать аналогичное соотношение для R :

$$R = e \frac{\frac{0 \int^A v dA}{AN \sqrt{R i}}}{N} E, \quad (2)$$

где v – местная осредненная скорость в трапециевидальном сечении.

В частном случае трапециевидального сечения – при прямоугольном сечении – соотношение (1) выполняется точно, в общем случае соотношение

$$\frac{1}{R} \approx \frac{1}{H_1} + \frac{1}{B_1} \quad (3)$$

лишь приближенно.

Для уточнения (3) предлагается ввести поправочный коэффициент k , который, как показывают расчеты, практически постоянен и близок к единице. Тогда (3) переписывается в виде

$$\frac{1}{R} = \frac{1}{k} \left(\frac{1}{H_1} + \frac{1}{B_1} \right). \quad (4)$$

Подставив значения R , H_1 , B_1 в (4), получим

$$\frac{1}{\frac{0 \int^A v dA}{AN \sqrt{R i}} - \frac{E}{N}} = \frac{1}{k} \left(\frac{1}{\frac{0 \int^A v_2 dA}{AN \sqrt{H_1 i}} - \frac{E}{N}} + \frac{1}{\frac{0 \int^A v_3 dA}{AN \sqrt{B_1 i}} - \frac{E}{N}} \right)$$

e

e

$$+ \frac{1}{e \frac{\int_0^A v_3 dA}{AN\sqrt{Ri}} - \frac{E}{N}}).$$

Выполним дифференцирование выражения (4) по А. Каждое слагаемое в (4) является функцией области А. Интегралы, входящие в (4), также функции А, при этом аддитивные.

Предварительно вычислим из (2):

$$\frac{\partial R}{\partial A} = e \frac{\int_0^A v dA}{AN\sqrt{Ri}} - \frac{E}{N} \times$$

$$\times \frac{vA\sqrt{Ri} - N\sqrt{Ri} \int_0^A v dA - N\sqrt{i} \int_0^A v dA \frac{1}{2\sqrt{R}} A \frac{\partial R}{\partial A}}{(AN\sqrt{Ri})^2}.$$

Выполнив алгебраические преобразования и учитывая, что $\frac{\int_0^A v dA}{A} =$

$$= \bar{v}, \text{ получим } \frac{\partial R}{\partial A} = -\frac{2R(v - \bar{v})}{A(2N\sqrt{Ri} + \bar{v})}.$$

$$\text{Аналогично } \frac{\partial H_1}{\partial A} = \frac{2H_1(v_2 - \bar{v}_2)}{A(2N\sqrt{H_1 i} + \bar{v}_2)};$$

$$\frac{\partial B_1}{\partial A} = \frac{2B_1(v_3 - \bar{v}_3)}{A(2N\sqrt{B_1 i} + \bar{v}_3)}$$

Продифференцировав по А и воспользовавшись слабой изменчивостью к, преобразуем (4):

$$\frac{2R(v - \bar{v})}{AR^2(2N\sqrt{Ri} + \bar{v})} = \frac{2H_1(v_2 - \bar{v}_2)}{kAH_1^2(2N\sqrt{H_1 i} + \bar{v}_2)} + \frac{2B_1(v_3 - \bar{v}_3)}{kAB_1^2(2N\sqrt{B_1 i} + \bar{v}_3)}.$$

После преобразований

$$v = \bar{v} + \frac{R(2N\sqrt{Ri} + \bar{v}) (v_2 - \bar{v}_2)}{kH_1 (2N\sqrt{H_1 i} + \bar{v}_2)} + \frac{R(2N\sqrt{Ri} + \bar{v}) (v_3 - \bar{v}_3)}{kB_1 (2N\sqrt{B_1 i} + \bar{v}_3)}. \quad (5)$$

Для расчета распределения скоростей в плоском потоке и определения средней скорости воспользуемся формулами И.К. Никитина [5,6]. С учетом примечаний [4] запишем:

$$v_2 = 2,98 v_{*2} \left[\ln \frac{D(x_2)}{\delta_2} + 2,90 - \frac{\delta_2}{D(x_2)} \right]; \quad (6)$$

$$\bar{v}_2 = 2,98 v_{*H_1} \left(\ln \frac{H_1}{\delta_2} - 1,90 \right),$$

где $v_{*2} = \sqrt{gHi}$; $v_{*H_1} = \sqrt{gH_1 i}$; H – глубина потока на вертикали, проходящей через точку, в которой определяется местная осредненная скорость; $D(x_2)$ – расстояние от стенки до точки; δ – толщина пристенного слоя плоского потока по вертикали.

Для плоского потока по горизонтали соотношения вполне аналогичны. Введем обозначения

$$L = 2,98 \frac{R(2N\sqrt{Ri} + \bar{v})}{kH_1 (2N\sqrt{H_1 i} + \bar{v}_2)} ;$$

$$M = 2,98 \frac{R(2N\sqrt{Ri} + \bar{v})}{kB_1 (2N\sqrt{B_1 i} + \bar{v}_3)} ;$$

$$S = 0,336 (L \bar{v}_2 + M \bar{v}_3) .$$

Тогда зависимость (5) можно записать в виде

$$v = \bar{v} + L v_{*2} \left[\ln \frac{D(x_2)}{\delta_2} + 2,90 - \frac{\delta_2}{D(x_2)} \right] + \\ + M v_{*3} \left[\ln \frac{D(x_3)}{\delta_3} + 2,90 - \frac{\delta_3}{D(x_3)} \right] . \quad (7)$$

Параметры L и M имеют смысл весовых функций влияния на местную осредненную скорость границ сечения.

В формуле $D(x_2) = H_0 - x_2$, если $x_3 \leq b$, причем $0 < x_2 \leq H_0 - \delta_2$,

$$D(x_2) = \frac{H_0}{B_0 - b_0} (B_0 - x_3) - x_2, \text{ если } x_3 > b_0, \text{ при этом}$$

$$0 < x_2 \leq \frac{H_0}{B_0 - b_0} (B_0 - x_3) - \delta_2; D(x_3) = B_0 - \frac{(B_0 - b_0) x_2}{H_0} - x_3,$$

причем $0 < x_3 \leq B_0 - \frac{(B_0 - b_0) x_2}{H_0} - \delta_3$.

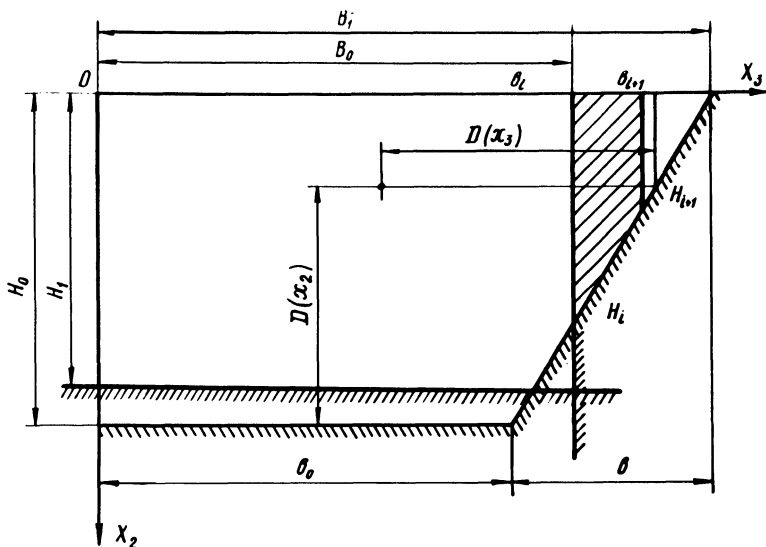


Рис. 1. Расположение осей координат и схема к представлению равномерного потока как двух плоских.

Входящие в формулу (7) величины могут быть определены следующим образом. Предварительно установим расходы в трапециевидном сечении плоских по вертикали и по горизонтали потоков. Расход плоского потока по вертикали в трапециевидном сечении складывается из расходов в треугольном и прямоугольном отсеках. Чтобы определить результаты в наиболее общей форме, рассмотрим трапециевидный отсек общего вида (рис. 1), т.е. отсек, в котором глубина справа не равна глубине слева. Из общей формулы расхода можно получить формулы для треугольного и прямоугольного отсеков.

Расход Q_i для плоского потока над наклонным участком отсека в обозначениях (см. рис. 1) можно определить, используя формулу Шези

$$Q_i = \int_{b_i}^{b_{i+1}} C_{H(x_3)} \sqrt{H(x_3) i} H(x_3) dx_3,$$

где $H(x_3)$ – глубина потока на вертикали с координатой x_3 :

$$H(x_3) = H_1 - \frac{H_{i+1} - H_i}{b_{i+1} - b_i} (b_i - x_3).$$

Выполнив интегрирование, получим:

для трапецидального отсека общего вида ($H_i \neq H_{i+1}$)

$$Q_i = \frac{\sqrt{i}}{2,5} \frac{b_{i+1} - b_i}{H_i - H_{i+1}} [H_i^{2,5} (C_i - 0,4N) - H_{i+1}^{2,5} (C_{i+1} - 0,4N)];$$

для треугольного отсека $H_{i+1} = 0$

$$Q_i = \frac{\sqrt{i}}{2,5} (b_{i+1} - b_i) H_i^{1,5} (C_i - 0,4N);$$

для прямоугольного отсека ($H_{i+1} = H_i$)

$$Q_i = \sqrt{i} (b_{i+1} - b_i) H_i^{1,5}.$$

Аналогично определяются расходы для плоского потока по горизонтали. Отличие заключается в том, что местами меняются H_i, H_{i+1} с V_i и V_{i+1} .

Применяя изложенные выше результаты к трапецидальному сечению, получим в обозначениях рис. 1 формулы для определения расхода в трапецидальном отсеке плоского по вертикали и по горизонтали потоков:

$$Q_2 = \sqrt{i} H_o^{1,5} [C_{H_o} (b_o + \frac{b}{2,5}) - 0,16Nb];$$

$$Q_3 = \frac{\sqrt{i}}{2,5} \frac{H_o}{b} [B_o^{2,5} (C_{B_o} - 0,4N) - b_o^{2,5} (C_{b_o} - 0,4N)], \quad (8)$$

где $C_{H_o}, C_{B_o}, C_{b_o}$ – скоростные коэффициенты, определенные при значениях гидравлического радиуса H_o, B_o, b_o .

Тогда средние в трапецидальном сечении скорости плоских потоков будут равны

$$\bar{v}_2 = \frac{\sqrt{i}H_0^{1,5}}{A} [C_{H_0} (b_0 + \frac{b}{2,5}) - 0,16Nb];$$

$$\bar{v}_3 = \frac{\sqrt{i}H_0}{2,5Ab} [B_0^{2,5} (C_{B_0} - 0,4N) - b_0^{2,5} (C_{b_0} - 0,4N)]. \quad (9)$$

Параметры H_1 и B_1 находятся из уравнений вида (2) с использованием (8). Причем окончательные уравнения запишутся в виде

$$H_1^{0,5} (N \ln H_1 + E) = -\frac{H_0^{1,5}}{A} [C_{H_0} (b_0 + \frac{b}{2,5}) - 0,16Nb];$$

$$B_1^{0,5} (N \ln B_1 + E) = -\frac{H_0}{2,5Ab} [B_0^{2,5} (C_{B_0} - 0,4N) - b_0^{2,5} (C_{b_0} - 0,4N)].$$

Средние толщины пристенных слоев плоских потоков по вертикали δ_2 и горизонтали δ_3 могут быть определены из решения уравнений (6).

Сравнивались скорости, вычисленные по (7), с многочисленными экспериментальными данными, полученными в однородных по длине потоках трапецидальной формы сечения. На рис. 2 представлены расчетные и экспериментальные данные по распределению скоростей в канале трапецидального сечения.

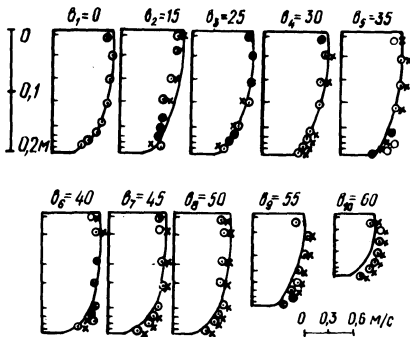


Рис. 2. Сравнение скоростей, вычисленных по формуле (7), с экспериментальными данными:

1 — вычисленные значения скоростей;
2, 3 — измеренные скорости в точках, симметричных относительно оси сечения; $b_0 = 0,50$ м, $H_0 = 0,202$ м, $i = 0,000645$, $t = 9^\circ\text{C}$, $v = 0,64$ м/с, $Q = 0,160$ м³/с; b_1 (см) — расстояние от гидродинамической оси до скоростной вертикали.

Сравнение позволило сделать вывод об удовлетворительном согласовании скоростей, вычисленных по предлагаемой методике, с экспериментальными, особенно во внутренней области течения. Наибольшее отклонение наблюдается в зоне откосов, по мере удаления от которых к центру погрешности уменьшаются. В значительной части сечения относительная

погрешность не превышает 3%, что является подтверждением возможности использования упомянутой гипотезы для расчета распределения по сечению продольной компоненты осредненной скорости. Вместе с тем нельзя не обратить внимания на систематические отклонения вычисленных и экспериментальных скоростей в области сечения, находящегося у откоса. Это следствие того, что использованная гипотеза, естественно, не отражает полностью сложных процессов, имеющих место в потоке, например не учитывает трехмерности поля осредненных скоростей. Это во многом может объяснить отклонение вычисленных скоростей от экспериментальных.

Однако судя по приведенным, а также по другим выполненным многочисленным сравнениям, дающим удовлетворительное согласование расчетных и экспериментальных данных, можно сделать вывод о том, что полученная формула распределения по трапецеидальному сечению продольного компонента осредненных скоростей может быть использована в качестве первого приближения для решения различных задач.

Л и т е р а т у р а

1. Гончаров В.Н. Динамика русловых потоков. — Л., 1962. 2. Коваленко Э.П. Распределение скоростей в равномерном потоке жидкости. — ИФЖ, 1961, № 8. 3. Коваленко Э.П. Исследование движения воды в открытых руслах. — Минск, 1963. 4. Рогуневич В.П. К расчету распределения осредненных продольных скоростей в однородных по длине прямоугольных потоках. — Водное хозяйство Белоруссии. Минск, 1971, вып.1. 5. Никитин И.К. Турбулентный русловой поток и процессы в придонной области. — Киев, 1963. 6. Никитин И.К. Обобщение зависимости для расчета стабилизированных турбулентных течений по двухслойной схеме. — В сб.: Исследование однородных и взвесенесущих потоков. — Киев, 1967. 7. Агроскин И.И., Штаренлихт Д.В. Уточненная формула для коэффициента Шези С. — Гидротехника и мелиорация, 1965, № 9.

УДК 556.04/08

Н.М. Балаескул, В.Н. Заяц

ОПЫТ ТАРИРОВКИ ВОДОИЗМЕРИТЕЛЬНЫХ УСТРОЙСТВ НА КАНАЛИЗАЦИОННЫХ ОЧИСТНЫХ СООРУЖЕНИЯХ

В практике учета сточных вод на канализационных системах наиболее широко используются в качестве стационарных измерителей расходов водоизмерительные сужающие устройства типа лотков Вентури и Паршалла [1,2]. В основу учета стока всеми гидрометрическими лотками положена устойчивая связь между расходами и уровнями верхнего бьефа в условиях свободного истечения потока. Лотки конструктивно просты. Для них разработан ряд рекомендаций и правил, при соблюдении которых действительны: полуэмпирические зависимости и рабочие формулы, разрабо-